

**MINERAIS DO PARANÁ S.A. - MINEROPAR**

**LEVANTAMENTO GEOQUÍMICO DE DETALHE  
NA ÁREA DA BARRA DO ITAPIRAPUÃ**

**OTAVIO AUGUTO BON LUCHT**

**MAURICIO MOACYR RAMOS**

**CURITIBA**

**1982**

MINEROPAR  
Minerais do Paraná S/A.  
BIBLIOTÉCA

MINERAIS DO PARANA S.A - MINEROPAR

LEVANTAMENTO GEOQUIMICO DE DETALHE NA ÁREA DA BARRA DO  
ITAPIRAPUA, PR

Otávio Augusto Boni Licht  
Maurício Moacyr Ramos

CURITIBA  
1982

**MINEROPAR**

Minerais do Paraná S.A.

**LEVANTAMENTO GEOQUÍMICO DE DETALHE  
NA ÁREA DA BARRA DO ITAPIRAPUÁ, PR**

550.4  
(816.22)  
699  
6.2  
3.2

Otavio Augusto Boni Licht  
Maurício Moacyr Ramos  
Agosto - 1982



## I - INTRODUÇÃO

O presente relatório refere-se ao levantamento geoquímico de detalhe, realizado na área DNPM 820.466/79, localizado na região de Barra do Itapirapuã.

O objeto da pesquisa, um corpo carbonatítico, é segundo Silva (1980) "(...) constituído por rochas sílico-feldspáticas brechadas, na qual o carbonatito penetrou na forma de filões, diques e pequenas lentes (...). Processos de silicificação e feldspatização são observados em maior ou menor intensidade, aparentemente associados ao enriquecimento em sulfetos, barita e fluorita, relacionados a processos tardi-magmáticos e/ou hidrotermais".

A amostragem, pedogeоquímica, desenvolveu-se nos meses de março e abril de 1982 e foi executada pelo técnico Miguel Ângelo Moretti e pelo auxiliar de campo Jeremias Justo de Almeida.

Os trabalhos de interpretação dos dados analíticos ficaram a cargo dos geoquímicos Otavio Augusto Boni Licht e Maurício Moacyr Ramos.

## II - METODOLOGIA

### 2.1. Técnicas de Amostragem

A amostragem foi executada a cada 25 metros e ao longo de 19 linhas (N-S), implantadas a teodolito e trena, espaçadas de 50 metros. A malha forneceu um total de 836 nós e 20.800 metros de linhas. Foi coletada uma amostra em cada nó.

A coleta das amostras foi realizada, quando sobre solo autóctone, a uma profundidade suficiente para que fosse ultrapassado o horizonte superficial orgânico; quando sobre colúvio, à uma profundidade constante de 50 cm.

Após a coleta, as amostras foram acondicionadas em sacos de pano e as características fisiográficas dos sítios de amostragem registradas em fichas de campo.

### 2.2. Técnicas de Análise

As amostras foram analisadas para Mo, Nb, Sr e La

no GEOLAB - GEOSOL, em Belo Horizonte, pelo método da espectrografia ótica de emissão, na fração menor do que a malha 80 (-80 mesh).

### 2.3. Técnicas de Interpretação

Tendo em vista as dificuldades encontradas na execução do mapeamento geológico da área, geradas pela escassez de afloramentos, procurou-se com a interpretação dos dados da pedogeоquímica fornecer algum subsídio neste sentido. Paralelamente foi intentada a definição de áreas prioritárias para pesquisa de corpos mineralizados no carbonatito em questão. A união desses objetivos com as dificuldades de uma segura classificação prévia das amostras em populações referentes aos diferentes litotipos conduziu à utilização do método gráfico proposto por Sinclair (1976), considerando-se a amostragem como representativa de uma única população.

Os seguintes passos foram obedecidos:

1. Ordenação dos resultados analíticos, por elemento, em ordem crescente de teor;
2. Confecção dos histogramas/elemento;
3. Construção do gráfico de probabilidade, para definição do tipo de distribuição bem como para a individualização das populações/elemento.
4. A seleção das anomalias foi realizada considerando-se a faixa de teor onde a população superior (A) ocorre isoladamente. No caso específico do Sr, houve necessidade de uma adaptação, já que a população superior ocorre com uma freqüência de 99,53% na mistura; assim selecionou-se os percentis 50, 16 e 2,5 da mesma, para a construção do mapa geoquímico.

Com o intuito de auxiliar na interpretação dos mapas geoquímicos, bem como de compreender o comportamento dos elementos segundo a topografia, selecionou-se os perfis 03 e 23 como representativos da área. Adicionalmente construiu-se um perfil oblíquo à direção N-S, representando a linha de maior declive topográfico.

## III - RESULTADOS OBTIDOS

1. Os dados analíticos configuram distribuições log-normais para

ra os quatro elementos analisados;

2. As distribuições são polimodais e não individualizáveis nos histogramas de freqüência simples, sendo necessária a construção dos gráficos de probabilidade para a discriminação das mesmas;
3. Mo, Nb e Sr apresentam distribuições bimodais e o La trimodal;
4. As populações inferiores (B), tanto do Mo quanto do Nb, são censuradas (teores menores que o limite de detecção) em .. 16,52% e 1,7%, respectivamente.
5. A análise dos mapas geoquímicos foi prejudicada, em parte, pela dificuldade inerente à área, de ser apresentado um mapa geológico com a precisão exigida. Como subsídio e auxílio no mapeamento geológico, podemos enumerar as seguintes observações:
  - 5.a. - De uma maneira geral, Granito + Metassedimento, são mapeados pelos teores < 50% da população A do Sr, o que representa teores < 115 ppm Sr;
    - A área de metassedimentos a sul é demarcada com alguma precisão pela população C do La, equivalendo a teores < 248 ppm La. Para o granito, este elemento não fornece resolução;
    - O mapa do Nb delimita com boa precisão a área de ocorrência das encaixantes (granito + metassedimentos) através da população B, o que significa teores < 164 ppm Nb;
    - O mapa de Mo, delimita com boa precisão a área de ocorrência das encaixantes, a sul, através da população B (teores < 13 ppm Mo); a norte, este elemento não oferece resolução.
  - 5.b. Com relação aos corpos de carbonatito, os mapas de Mo, Nb e Sr demarcam uma zona com direção aproximada NW-SE que sugere uma estruturação geoquímica, bem como a continuidade do corpo para NW e, possivelmente, para SE. O corpo tabular (dique) de direção SW-NE, ficou perfeitamente definido nos mapas do Mo e Nb e sugerido no do La, não sendo discriminado no do Sr.

6. A integração dos perfis geoquímicos e topográficos, permitem as conclusões que seguem:

- 6.a. Os halos geoquímicos secundários, gerados pelos corpos carbonatíticos da área, são residuais e formados por erosão ativa do tipo elúvio-coluvionar (tipo I, Beus e Grigorian, 1977). Do tipo coluvial, é um exemplo o perfil 03, e do tipo eluvial, são exemplos os perfis 23 e o oblíquo.
- 6.b. O perfil 03, de maior representatividade em termos de área abrangida, acentua diferenças entre o granito encaixante a norte e aquele a sul. Enquanto que a sul, os perfis geoquímicos após ultrapassarem o pico relativo ao corpo carbonatítico retornam a um patamar inferior, a norte de linha-base tal procedimento não se repete. Ali, principalmente para La e Mo, os perfis têm um padrão oscilante que nos conduz à suposição de que o granito esteja geoquimicamente perturbado pelo carbonatito. Isto encontra suporte de campo, já que Silva (com. verbal, 1982) determinou no local a presença de pequenos diques (filonetes) de carbonatito que devem ser os responsáveis por este ruído geoquímico.
- 6.c. Finalmente com os perfis podemos determinar a presença dos corpos carbonatíticos seja através da agudeza dos perfis seja através do surgimento de um patamar elevado que assinala o corpo e o halo secundário associado. Porém, a existência de espessos mantos de intemperismo elúvio-coluvionares obliteram tanto as feições geológicas - dificultando o mapeamento - quanto as geoquímicas - dificultando a interpretação.

#### IV - RECOMENDAÇÕES

É aconselhável que o detalhamento das áreas anômalas evidenciadas nesta fase seja iniciado pela execução de escavações de pequena profundidade, como poços, trincheiras e cachimbos. Tal recomendação prende-se ao fato, já salientado no item 6.c. das conclusões, de que a presença da espessa cobertura elúvio-coluvionar

poderá eventualmente, conduzir a interpretações incorretas.

São indicadas três áreas para detalhamento:

**Área I** - Engloba os afloramentos conhecidos de carbonatito e que se dispõe segundo uma direção NW-SE (item 5.b. das Conclusões). Sugere-se o detalhamento para definição da continuidade do corpo carbonatítico, segundo a direção citada. Indica-se a dosagem de Mo e Nb como os elementos mais discriminantes no caso. Prioridade A.

**Área II** - Representada pela área de ocorrência de granito, nas porções norte das linhas 00 a 11, geoquimicamente perturbado pelo carbonatito (item 6.b. das Conclusões). O detalhamento é sugerido com o objetivo de definir o significado econômico da venulação de carbonatito hospedada nos granitos. Sugere-se dosagem de Mo e La em vista dos resultados apresentados pelos perfis geoquímicos. Prioridade B.

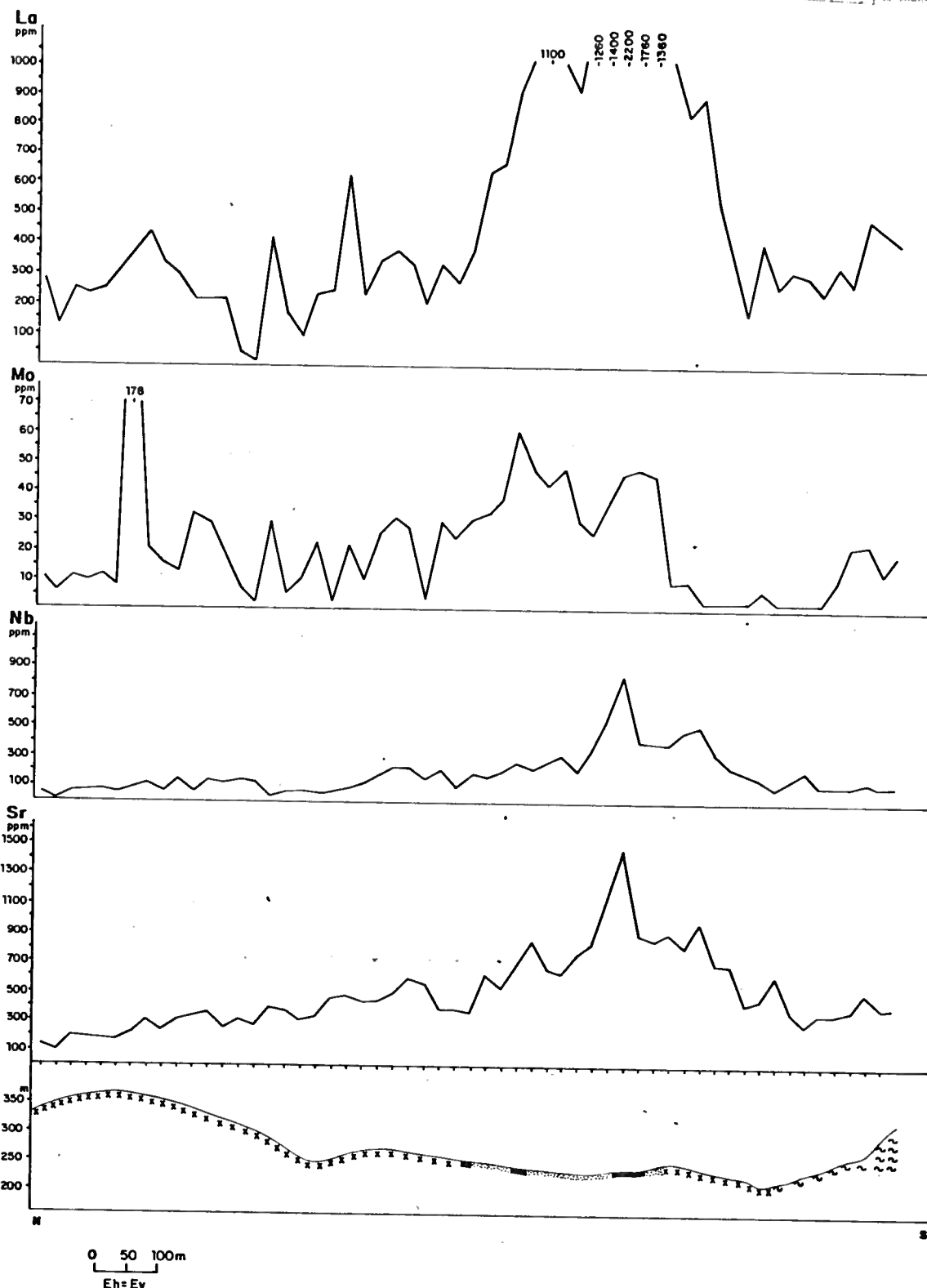
**Área III** - Representada pela anomalia alongada NE-SW (item 5.b. das Conclusões) e que, provavelmente, se relaciona a um corpo tabular (dique) de carbonatito com esta direção. Sugere-se o detalhe com o objetivo de definição do significado econômico do provável dique. Indica-se a dosagem de Mo, Nb e La. Prioridade C.

## V - BIBLIOGRAFIA

BEUS, A.A. e GRIGORIAN, S.V. - 1977 - Geochemical Exploration Methods for Mineral Deposits. Illinois, Applied Publish. LTD. 287 pp.

SILVA, D.C. - 1980 - Geologia Preliminar da Região da Barra do Itapirapuã - MINEROPAR S/A - Relatório Ostensivo.

SINCLAIR, A.J. - 1976 - Applications of Probability Graphs in Mineral Exploration. The Assoc. of Explor. Geochem. - Spec. Vol. 4 - 95 pp.

**CONVENÇÕES**

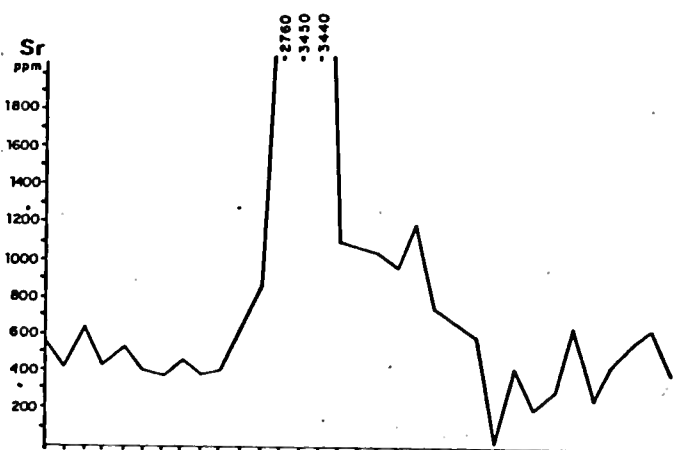
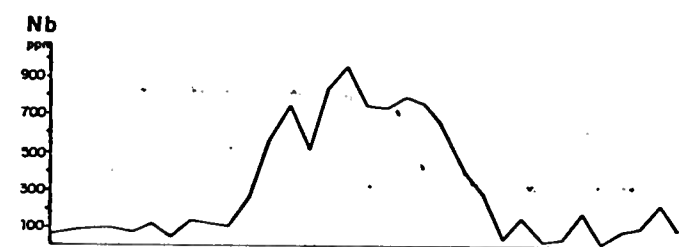
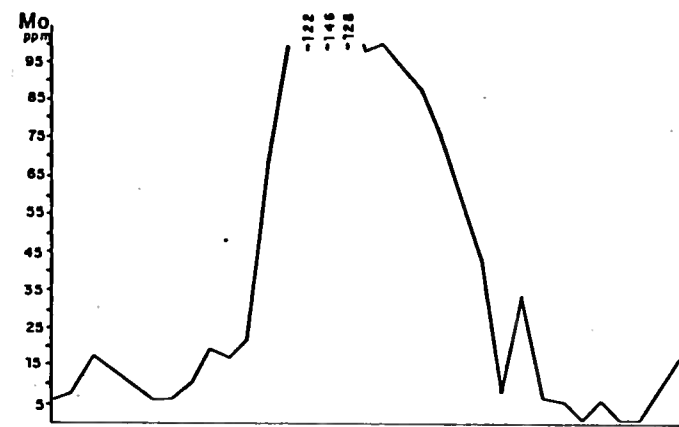
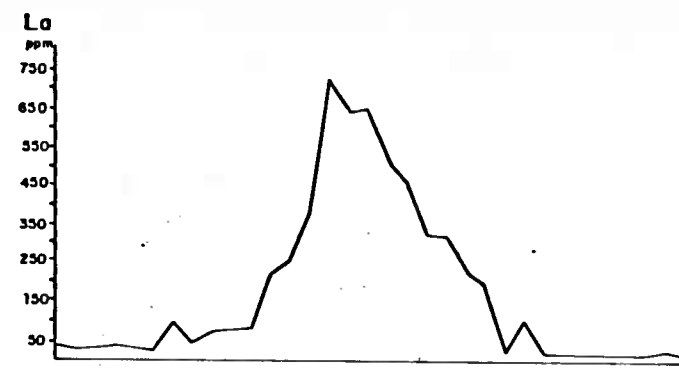
- xxxx GRANITO
- ..... COLÚVIO
- CARBONATITO
- ~~~ METASSEMENTO

**PERFIL GEOLÓGICO**  
seg. Silva (1982)

S.A.T.O.

**ÁREA - BARRA DO ITAPIRAPUÁ**  
**PERFIL GEOQUÍMICO - LINHA 03**

Autores: Olávio A. B. Licht- Maurício M. Ramos



0 50 100m  
Eh = Ev

#### CONVENÇÕES

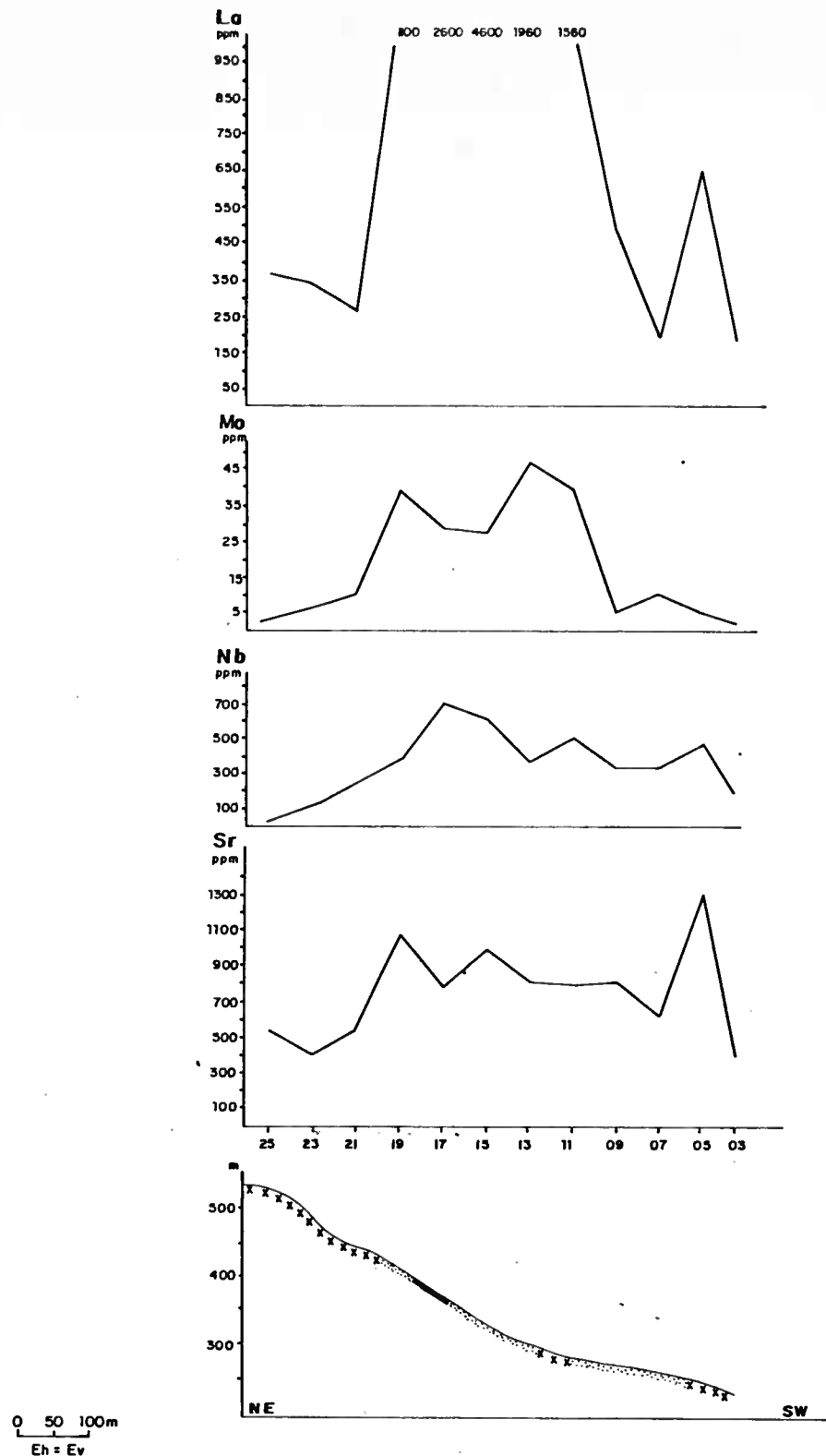
- xxxx GRANITO
- xxxxx COLUVIO
- CARBONATITO
- ~~~ METASSEMENTO

PERFIL GEOLOGICO  
seg. Silva (1982)

S.A.T.O.

ÁREA - BARRA DO ITAPIRAPUÃ  
PERFIL GEOQUÍMICO - LINHA 23

Autores: Otávio A. B. Licht- Mauricio M. Ramos



#### CONVENÇÕES

- xxxx GRANITO
- ..... COLÚVIO
- CARBONATITO
- ~~~ METASSEDEDIMENTO

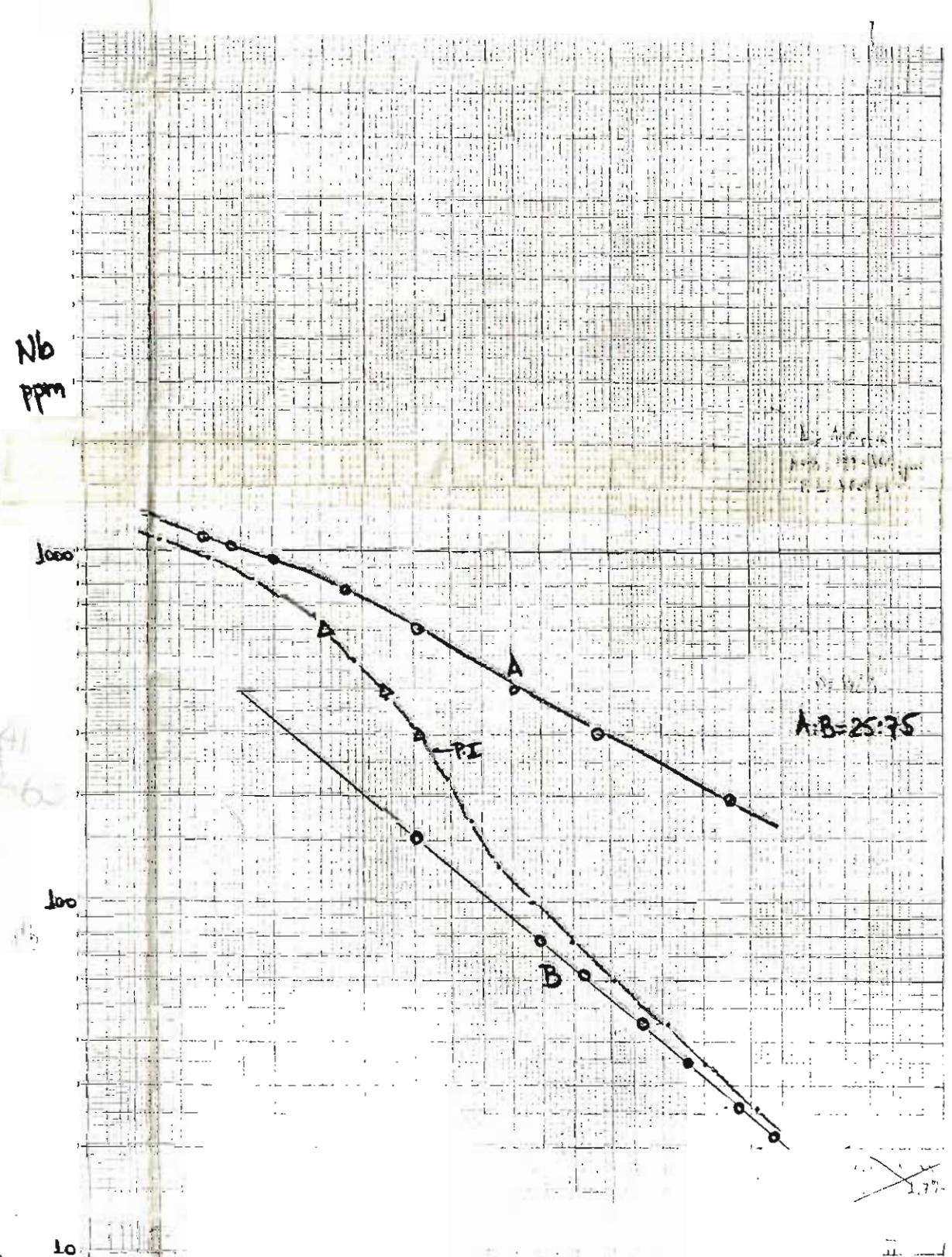
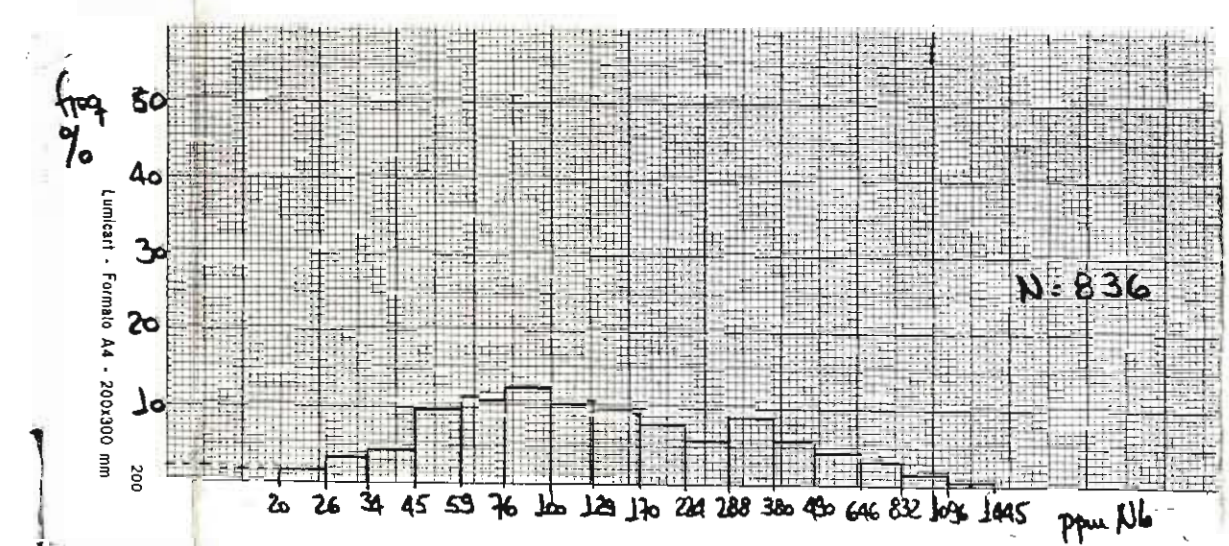
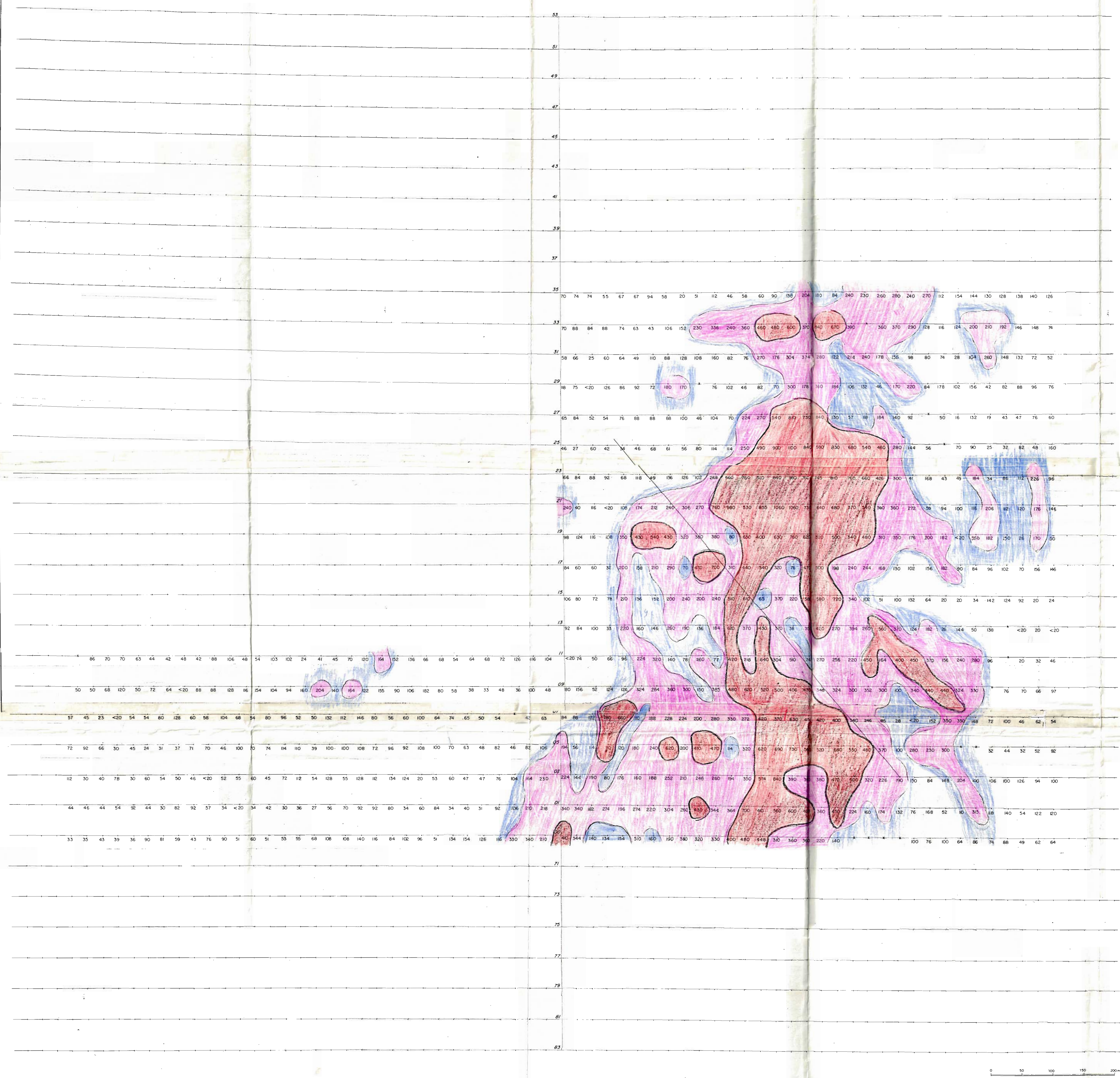
PERFIL GEOLÓGICO  
seg. Silva (1982)

S.A.T.O.

O PERFIL INTERSECTA A LINHA 23 A 135m A S DA LINHA BASE; A LINHA 03 A 550m A S DA LINHA BASE.

ÁREA - BARRA DO ITAPIRAPUÃ  
PERFIL GEOQUÍMICO

Autores: Otávio A.B. Licht - Maurício M. Ramos

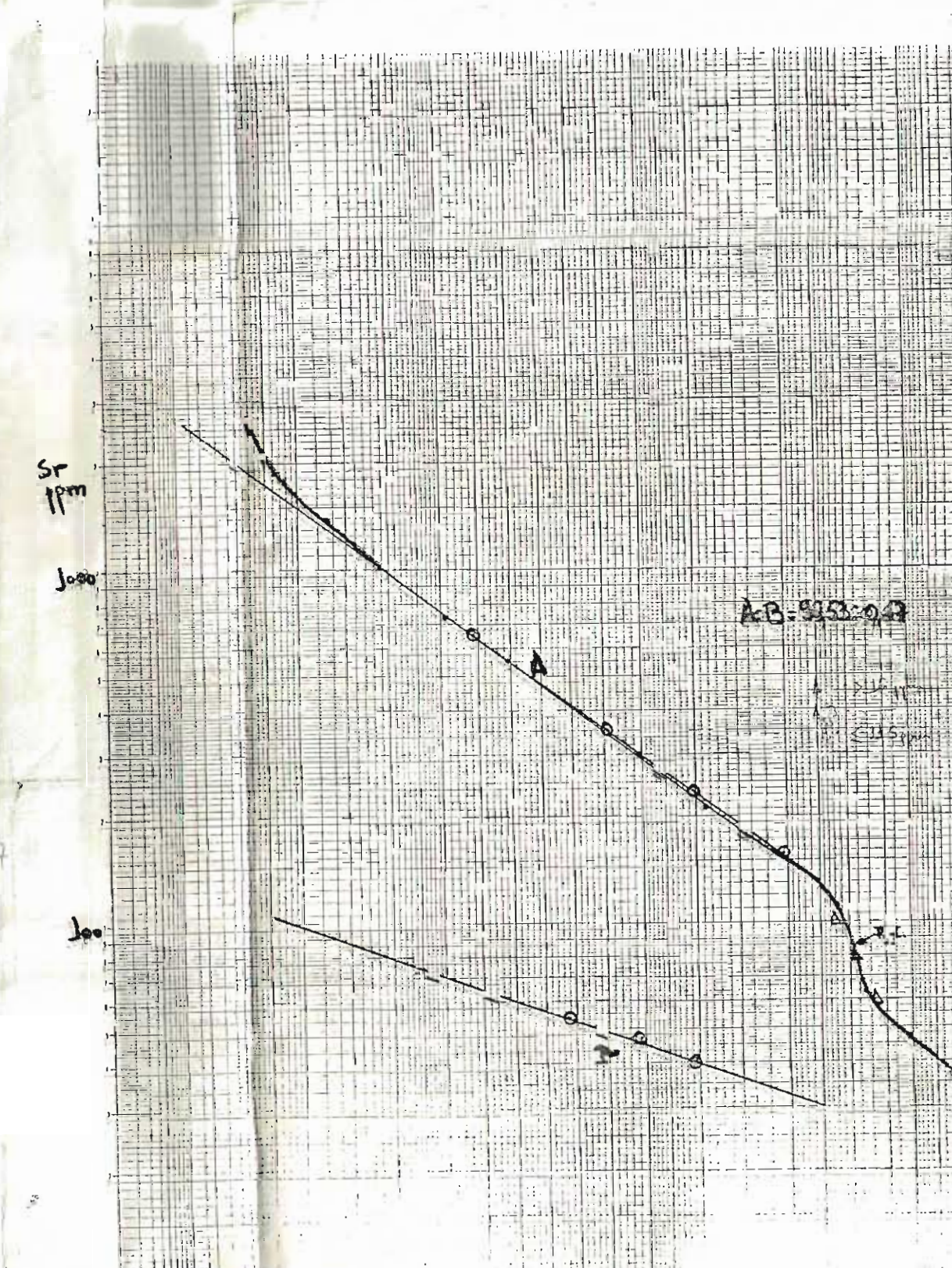
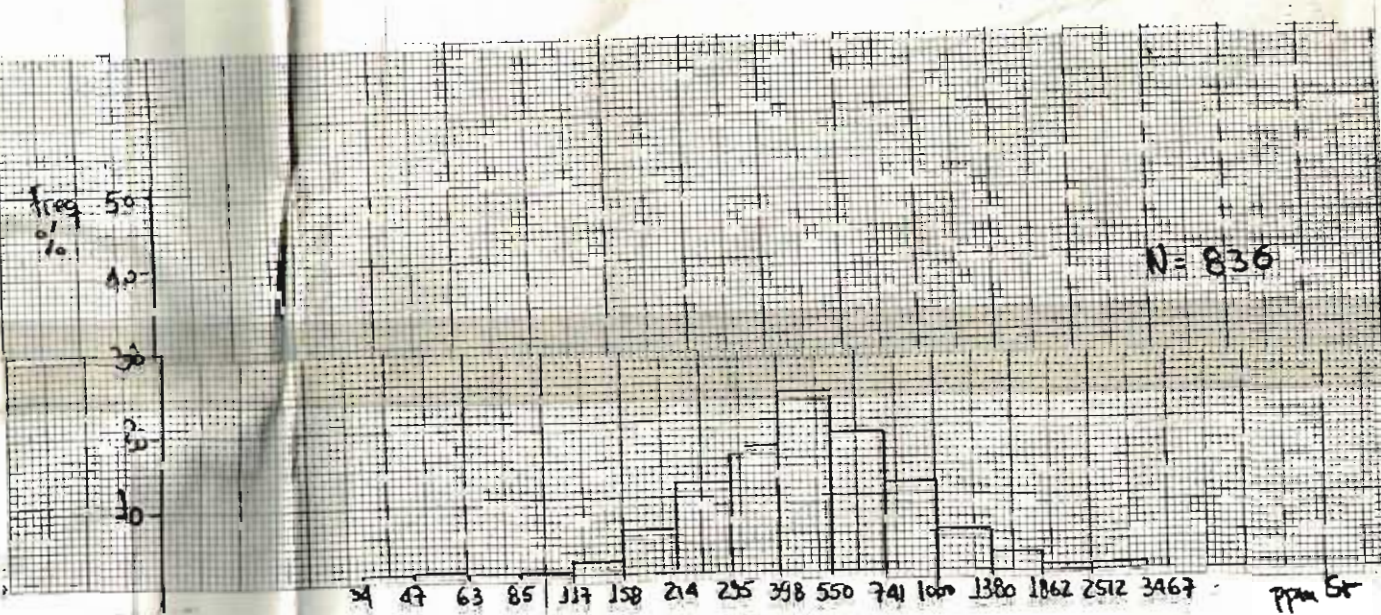
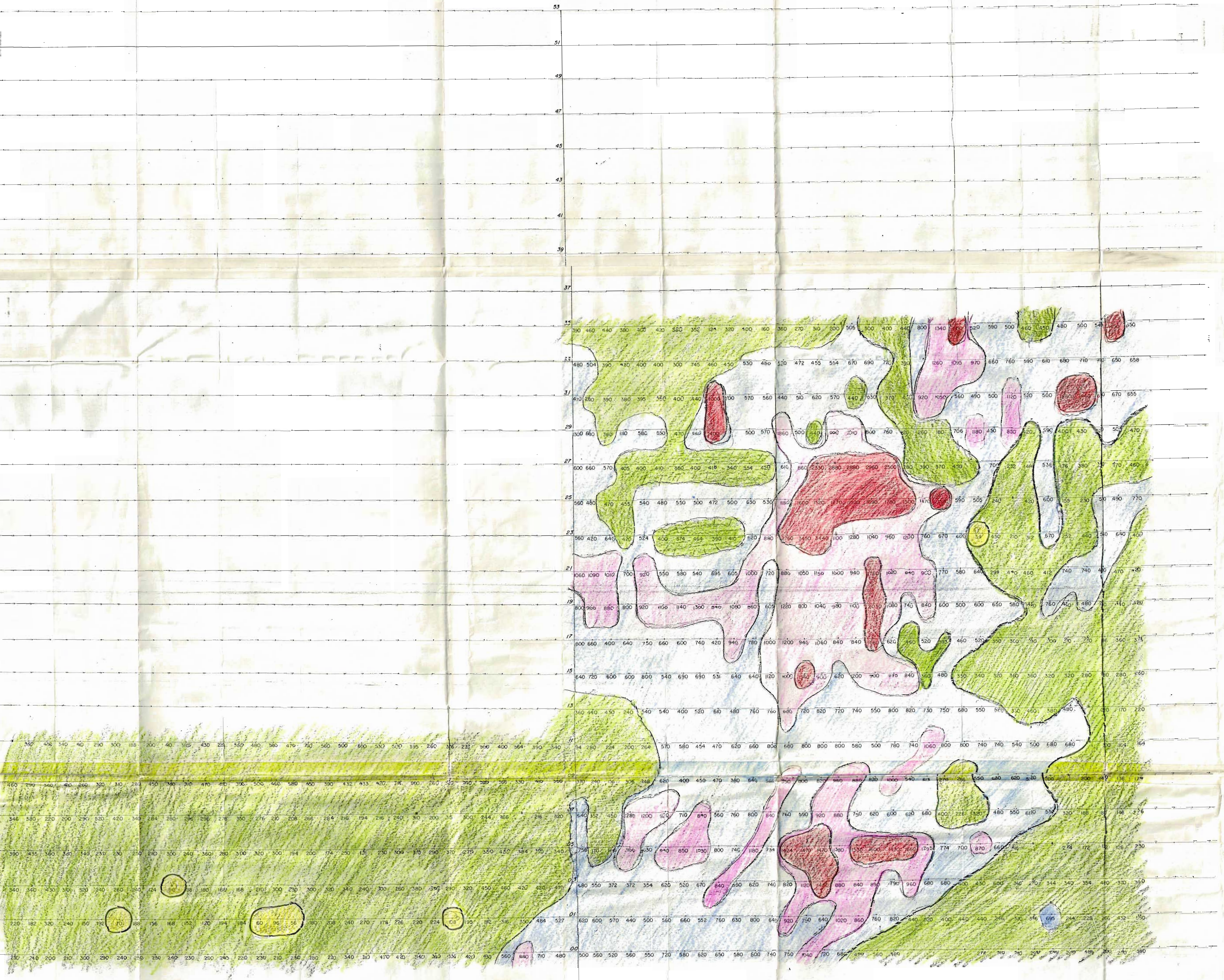


POPUULAÇÃO A > 400 ppm

MISTURA A+B 399-165 ppm

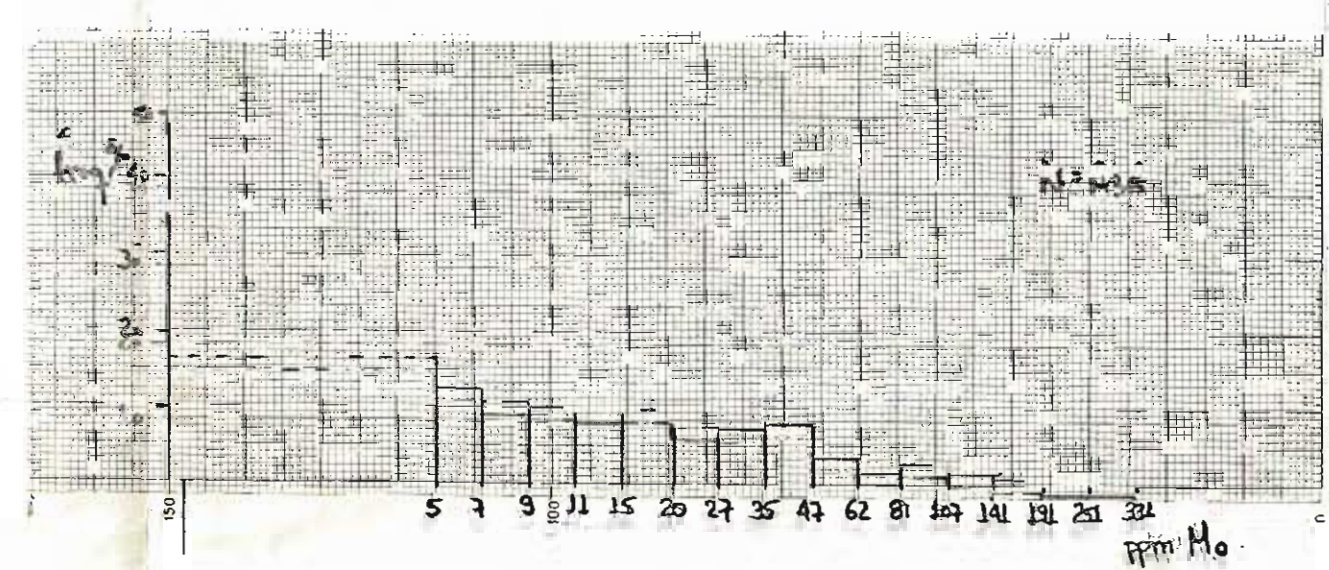
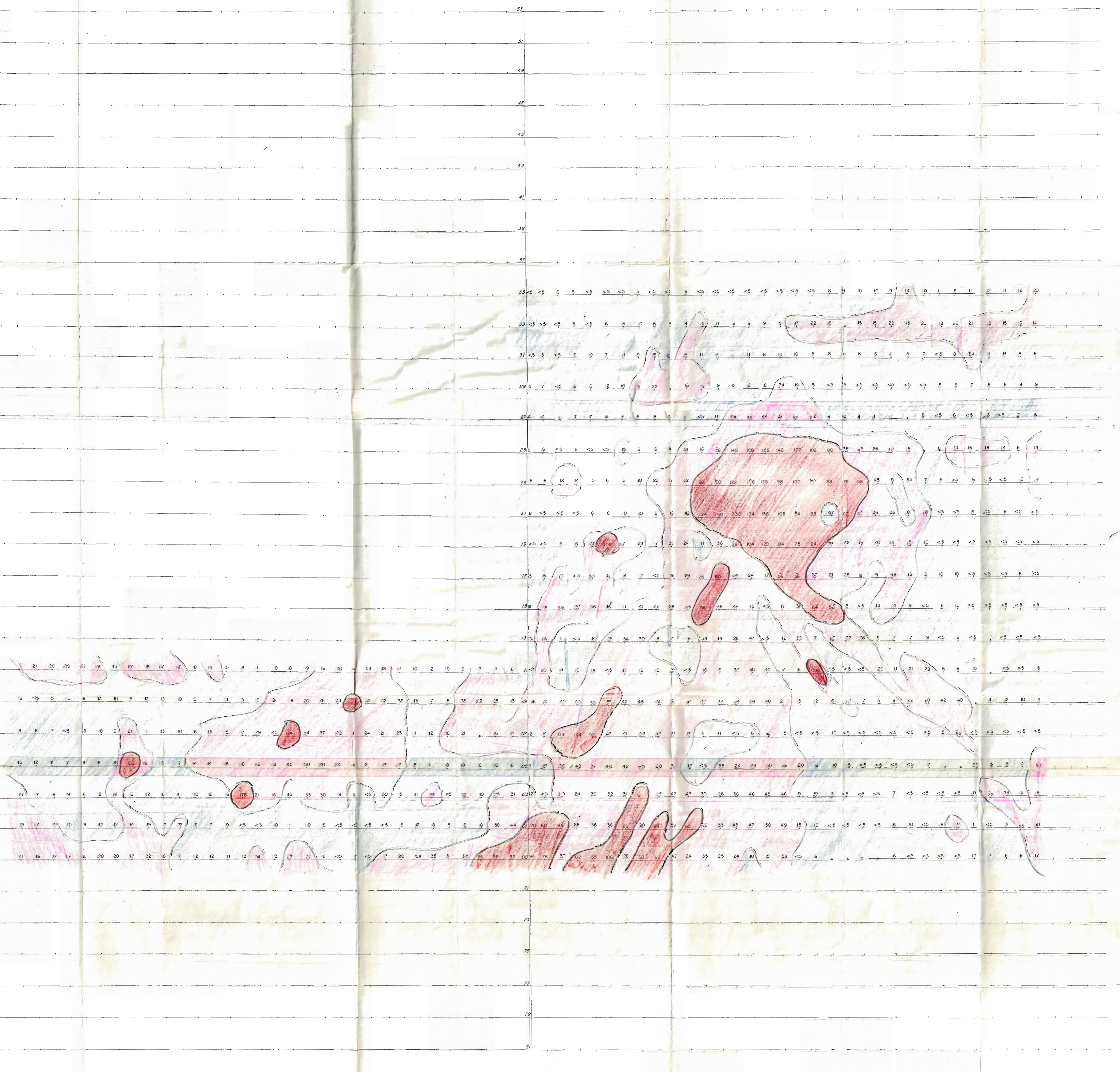
POPUULAÇÃO B < 164 ppm

SATO (MIMICROPAW) ANEXO 1  
LEVANTAMENTO GEOQUÍMICO DE DIFERENTES ÁREAS NA ÁREA DE BARRA DO ITAPIRAPUÁ MAPA GEOQUÍMICO DE NIÓBIO 36/0782

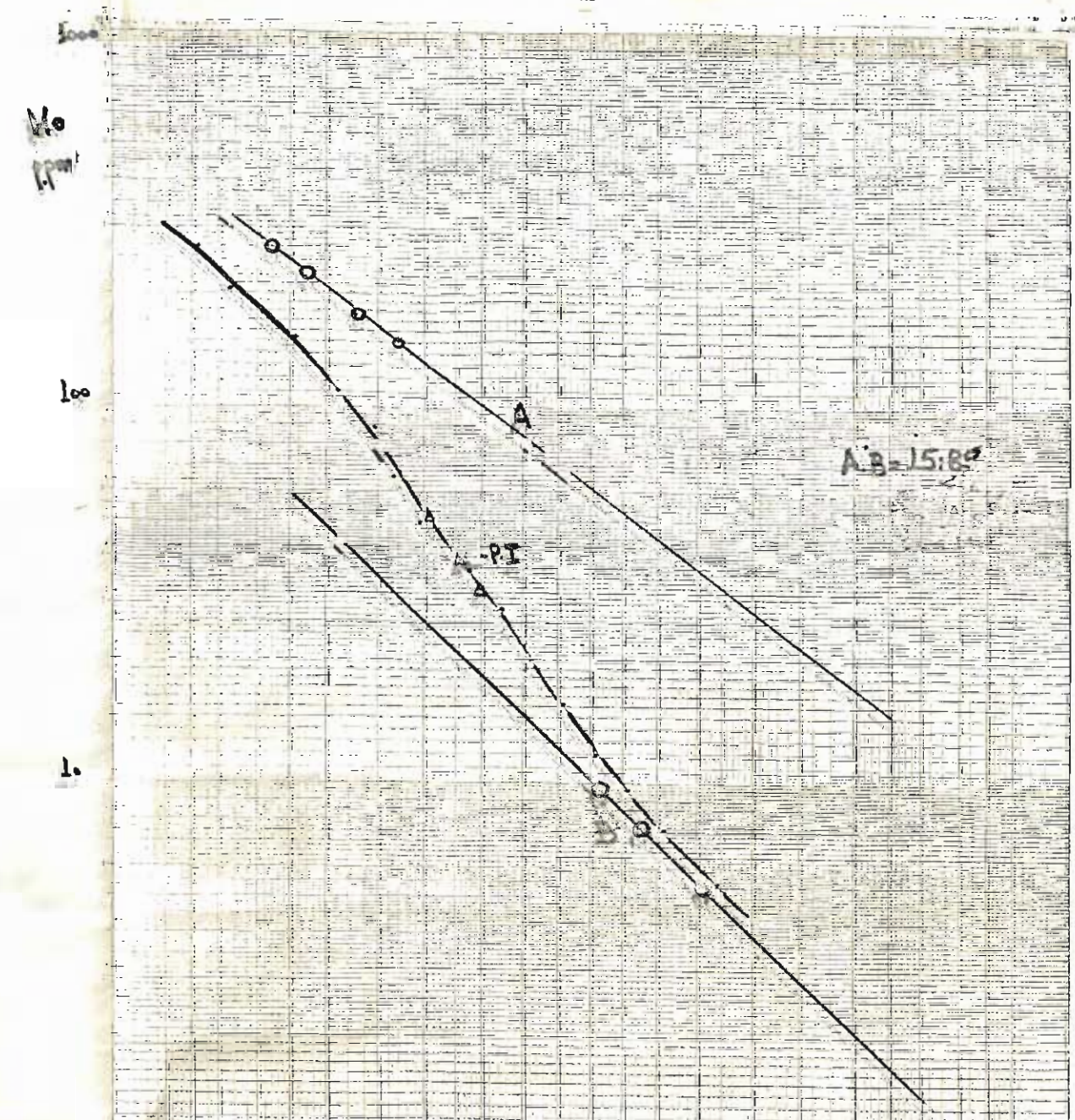


PERCENTIL 2,5 > 1400 ppm  
 PERCENTIL 16 > 840 ppm  
 PERCENTIL 50 > 470 ppm  
 População A > 116 ppm  
 População B < 115 ppm

SATO - (MIMICRÓPARA)	ANEXO #2
LEVANTAMENTO GEOQUÍMICO DE DETALHES NA ÁREA DE BARRA DO ITAPIRAPUÁ	
MAPA GEOQUÍMICO DO ESTRÔNCIO	
Autor: Ademar Augusto da Silva Data: 20/07/82	Desenho: [Signature] Data: 20/07/82



W 12°53'01"E  
S 28°38'55"S  
E 41



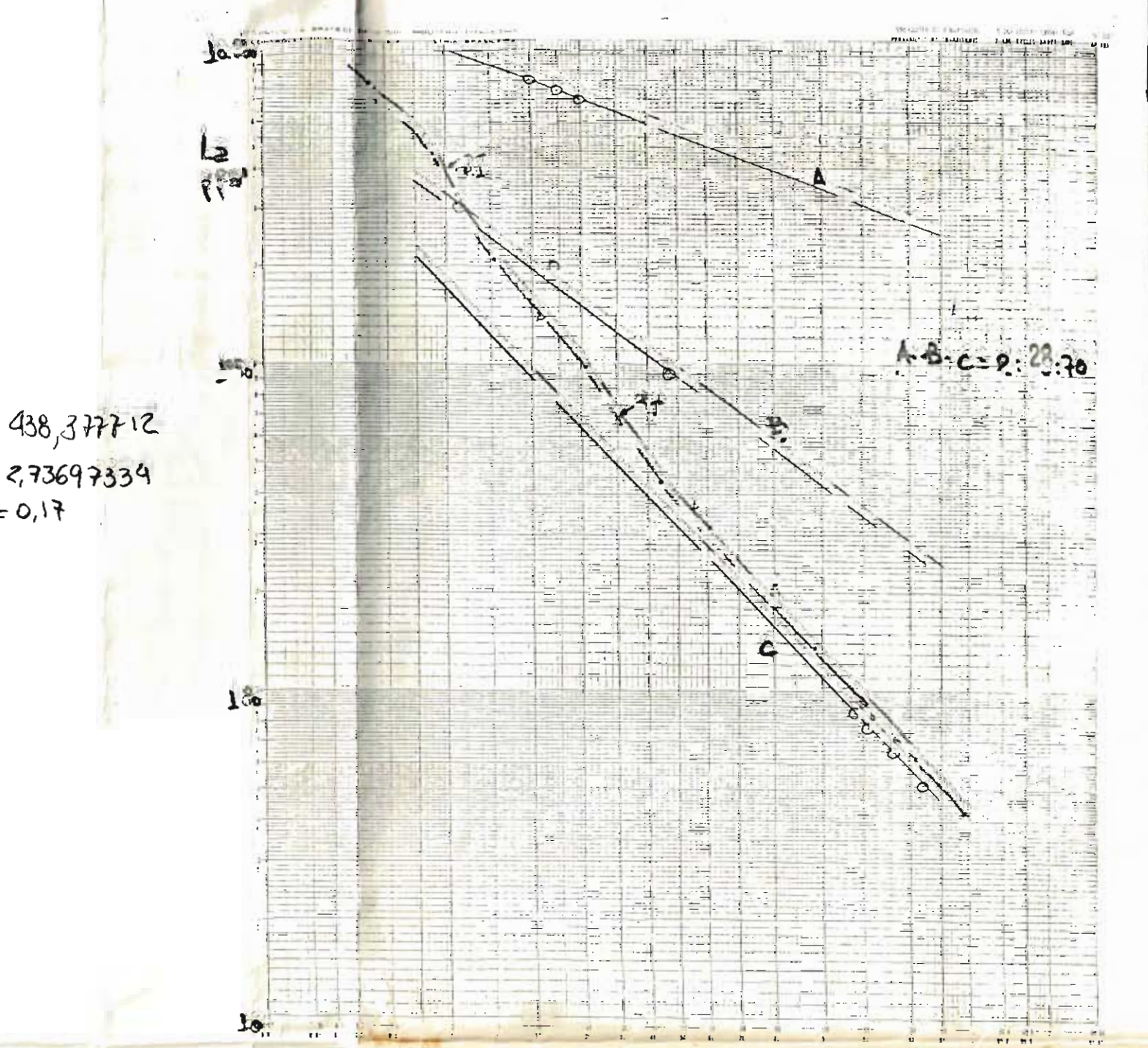
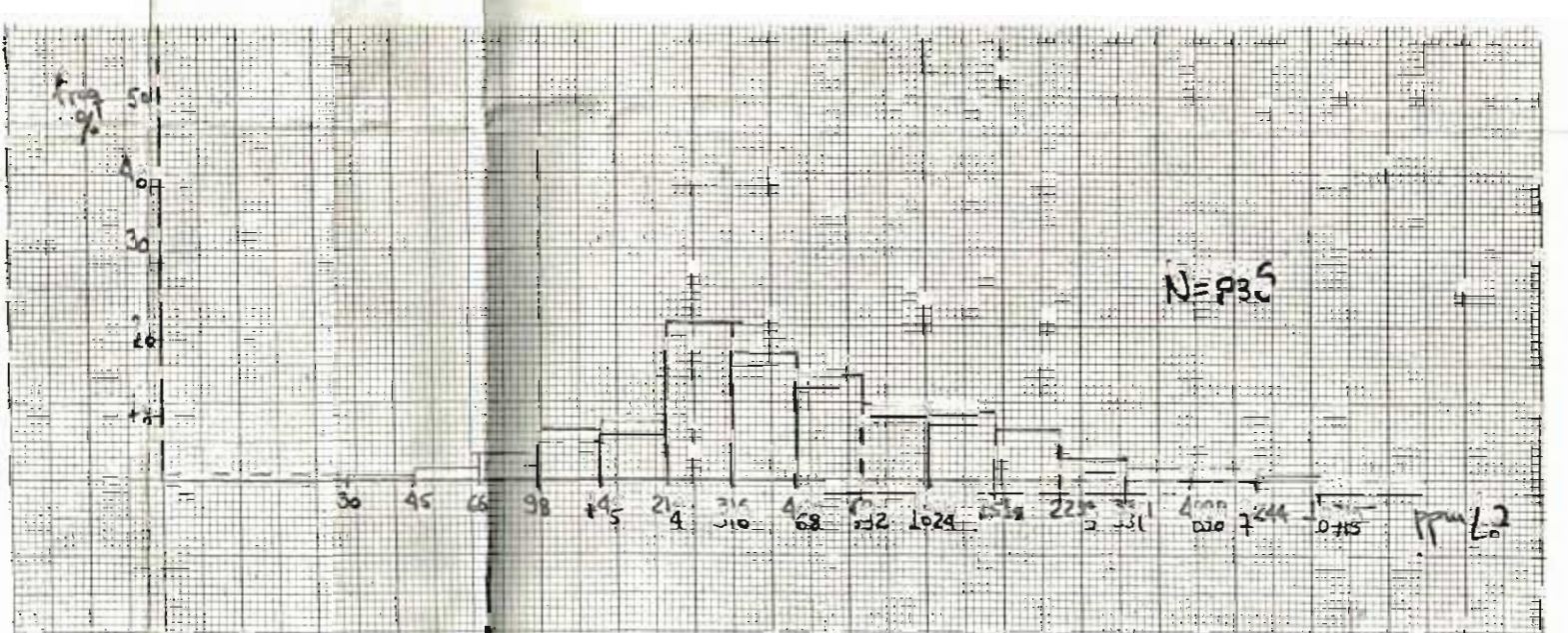
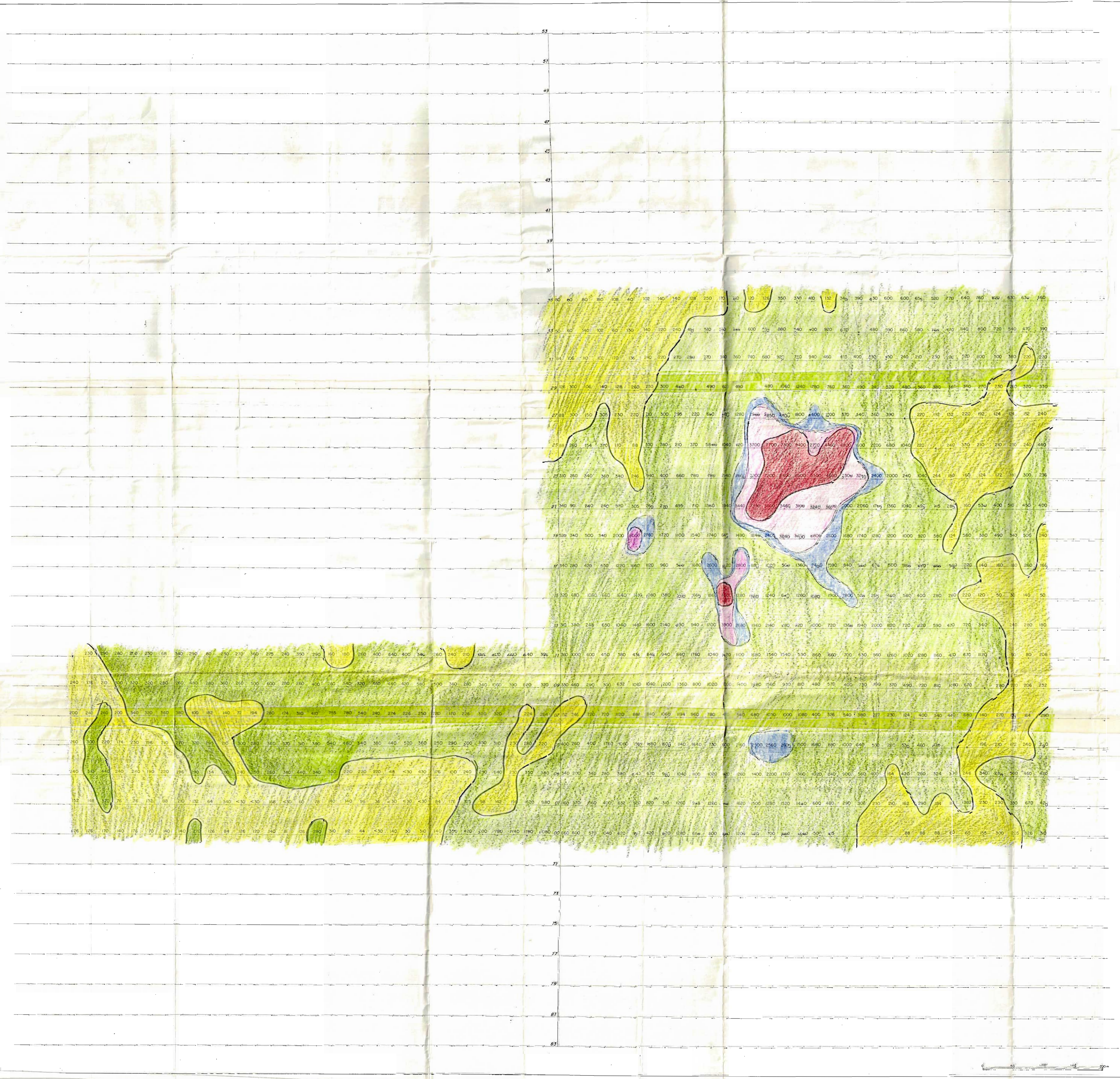
POPUAÇÃO A > 56 ppm

INSTURA A+B 55-14 ppm

POPUAÇÃO B < 13 ppm

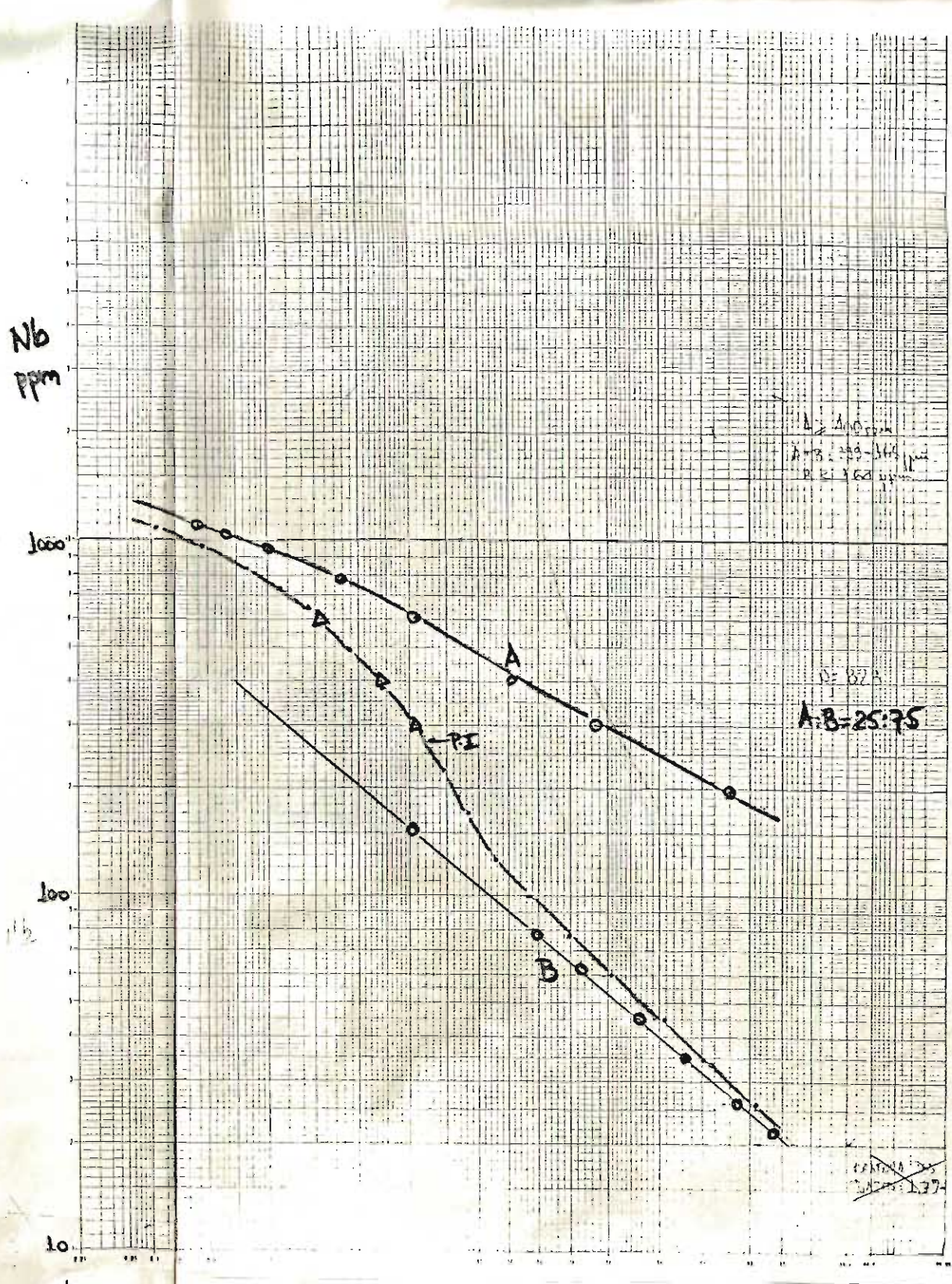
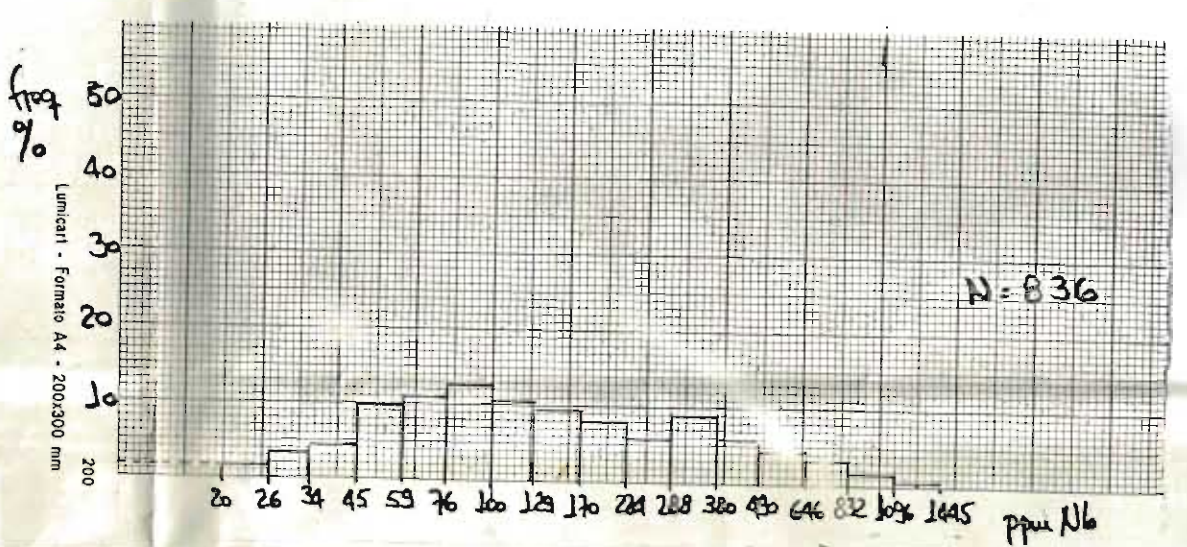
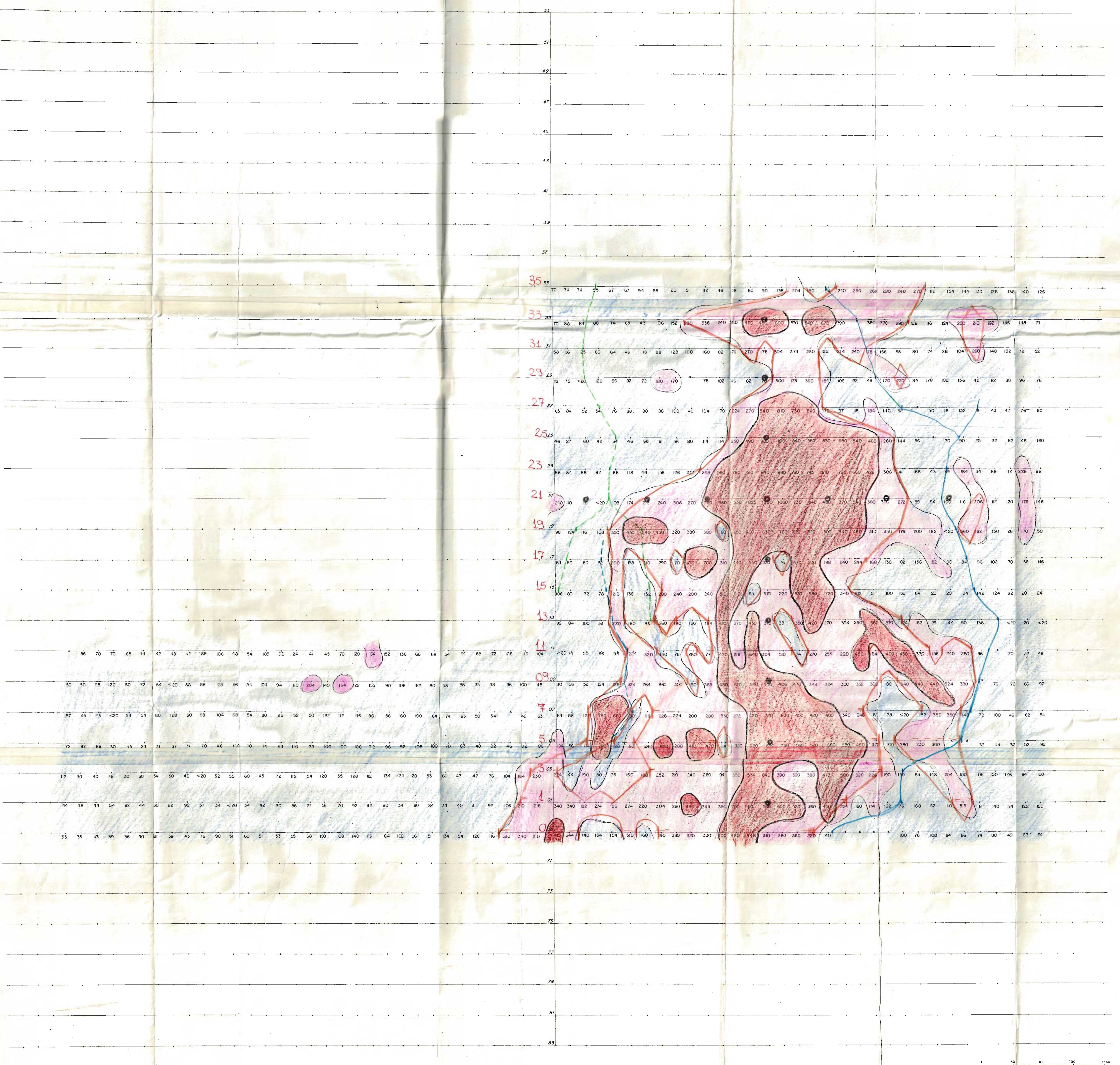
SATO	(MINEROPAU)	ANEXO
LEVANTAMENTO GEOQUÍMICO DE DETALHE NA ÁREA DE BAIRRO DO ITAPIRAPUÁ		
MAPA GEOQUÍMICO DO MOLHADENIO		
DATA: 20/07/82		

ANEXO  
3



POPULAÇÃO A > 4.000 ppm  
HISTOGRAMA A+B 390 - 2700 ppm  
POPULAÇÃO B 260 - 2300 ppm  
HISTOGRAMA B+C 220 - 250 ppm  
POPULAÇÃO C ≤ 248 ppm

SATO	(MIMBROPAJ)	Anexo
LEVANTAMENTO GEOQUÍMICO SE DETALHE NA ÁREA DE BARRA DO ITAPIRAPUÁ		
MAPA GEOQUÍMICO DO LANTAU		
DATA	30/07/82	



POUPULACAO A > 400 ppm

HISTURA A+B 399-165 ppm

POUPULACAO B < 164 ppm

SATO	(MINIBRASIL)	ANEXO
LEVANTAMENTO GEOQUÍMICO DE DETALHE NA ÁREA DE BARRA DO ITAPIRAPUÁ		
MAPA GEOQUÍMICO DO NIÓBIO		
AUTORES	RESPONSÁVEL	
JOÃO VASCONCELOS	JOÃO VASCONCELOS	
DATA		
30/07/82		

